



Raport

z badań poziomu natężenia pola elektrycznego
w otoczeniu stacji bazowej:

WRO1171

na podstawie sprawozdania 42/242/23/OS udostępnionego przez Radiolog S.C. Tadeusz
Piotrowski i Janusz Rzepka

Laboratorium prowadzące badania

Radiolog S.C. Tadeusz Piotrowski i Janusz Rzepka
ul. Dworska 46
71-026 Szczecin
91 483 21 15
radiolog_sc@poczta.onet.pl

Zleceniodawca badań

P4 Sp. z o.o.
02-677 Warszawa
790 500 500
kontakt@play.pl

Nr akredytacji: AB 413

Data wydania sprawozdania: 10.07.2023

Raport zawiera wybrane elementy sprawozdania i służy wyłącznie obrazowemu przedstawieniu informacji o danej instalacji. Raport nie może być wykorzystywany w postępowaniach administracyjnych.

Informacje ogólne

Zgodność z metodyką RMK: Tak

Ograniczenia: Na podstawie art. 122a ust. 1b ustawy Prawo ochrony środowiska (t.j. Dz.U. z 2020 r., poz. 1219, 1378, 1565, 2127, 2338, z 2021 r. poz. 802, 868, 1047, 1162, 1535.), pomiary PEM w lokalach mieszkalnych i użytkowych zlokalizowanych w obszarze pomiarowym badanej stacji bazowej nie zostały przeprowadzone.

Wykorzystanie w obszarze regulowanym: Tak

Przedmiot badań

Identyfikator stacji w UKE	WRO1171
Operator	P4 Sp. z o.o.
Współrzędne	16,8758910; 51,0162020
Rodzaj pracy	ciągła
Rodzaj wytwarzanego pola	stacjonarne

Miejsce badań

Otoczenie stacji bazowej WRO1171 w lokalizacji Biskupice Podgórne, ul. LG, działka nr 2/99.

Cel badań

1. Zweryfikowanie zgodności z wymaganiami rozporządzenia Ministra Zdrowia z dnia 19 grudnia 2019 r.

Opis stacji bazowych

Tabela 1: Opis anten badanych stacji bazowych

Lp.	Identyfikator stacji w UKE	Typ Producent anteny	Azymut	H	EIRP	Pasma	Tilt	Tilt w trakcie pomiarów
			[°]	[m]	[W]	[MHz]	[°]	[°]
1	WRO1171	AAU5726e Huawei	40	26,80	4842*	LTE 1800 LTE 2100	2,0 - 10,0 2,0 - 10,0	6,0 6,0
2		AAU5726e Huawei	68	26,80	4842*	LTE 1800 LTE 2100	2,0 - 10,0 2,0 - 10,0	6,0 6,0
3		AQU4518R24v18 Huawei	80	26,20	15666*	LTE 800 UMTS 900 LTE 2600 LTE 2600	0,0 - 10,0 0,0 - 10,0 2,0 - 12,0 2,0 - 12,0	5,0 5,0 5,0 5,0
4		AAU5726e Huawei	92	26,80	4842*	LTE 1800 LTE 2100	2,0 - 10,0 2,0 - 10,0	6,0 6,0
5		AAU5726e Huawei	120	26,80	4842*	LTE 1800 LTE 2100	2,0 - 10,0 2,0 - 10,0	6,0 6,0
6		ATR4518R6v06 Huawei	200	26,20	13315*	LTE 800 LTE 2600 LTE 2600	0,0 - 10,0 0,0 - 10,0 0,0 - 10,0	5,0 5,0 5,0
7		ATR4518R6v06 Huawei	200	26,20	24568*	UMTS 900 LTE 1800 LTE 2100 LTE 1800 LTE 2100	0,0 - 10,0 0,0 - 10,0 0,0 - 10,0 0,0 - 10,0 0,0 - 10,0	5,0 5,0 5,0 5,0 5,0
8		ATR4518R6v06 Huawei	320	26,20	13315*	LTE 800 LTE 2600 LTE 2600	0,0 - 10,0 0,0 - 10,0 0,0 - 10,0	5,0 5,0 5,0
9		ATR4518R6v06 Huawei	320	26,20	24568*	UMTS 900 LTE 1800 LTE 2100 LTE 1800 LTE 2100	0,0 - 10,0 0,0 - 10,0 0,0 - 10,0 0,0 - 10,0 0,0 - 10,0	5,0 5,0 5,0 5,0 5,0

* moc EIRP łączna dla wszystkich częstotliwości anteny

Warunki pomiarów

Pomiary w wyznaczonych punktach wykonano w następujących warunkach:

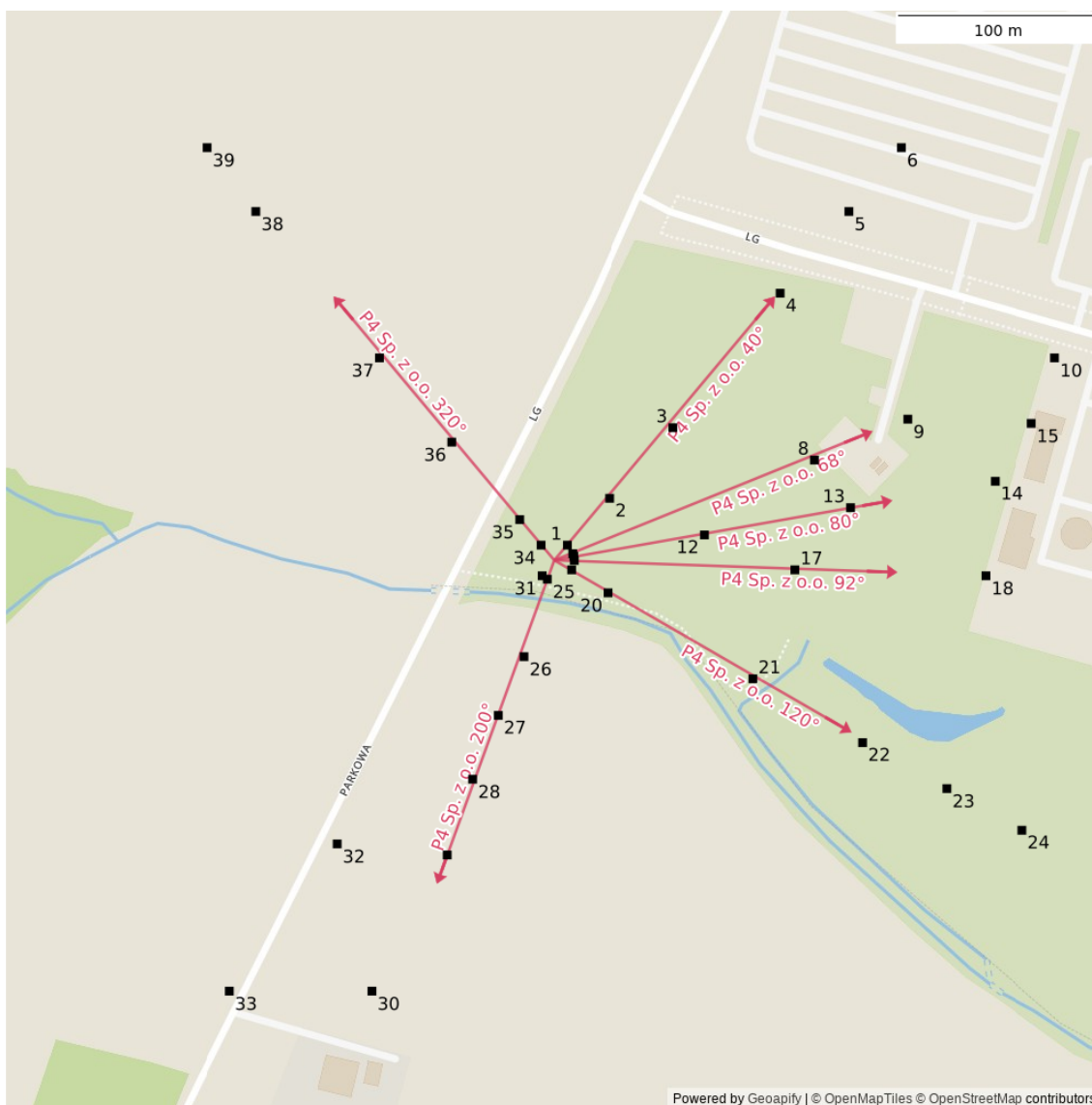
07.07.2023 10:50-13:10			
Warunki środowiskowe	Temperatura [°C]	Wilgotność [%]	Opady
Minimalna	24,1	48,6	brak
Maksymalna	25,6	53,5	

Aparatura

Tabela 2: Aparatura

MIERNIKI I SONDY					
Lp.	Typ / Nazwa	Model	Producent	Próg detekcji	Świadectwo wzorcowania
1a	miernik	SMP2	SMP		LWiMP/W/304/22 z dn. 07.10.2022 wydane przez LWiMP
1b	sonda	WPF8 HP	SMP	0,50	
2a	miernik	NBM- 550	Narda		LWiMP/W/086/23 z dn. 28.02.2023 wydane przez LWiMP
2b	sonda	EF6091	Narda	0,50	
POZOSTAŁE					
Lp.	Typ / Nazwa	Model	Producent	Świadectwo wzorcowania	
3	termohigrometr	H560	EMD Systemy Pomiarowe	2951.1-M54 -4180-1501/15 z dn. 19.08.2015 wydane przez GUM	

Lokalizacje pionów pomiarowych



Rysunek 1: Plan terenu

Wyniki pomiarów szerokopasmowych

Tabela 3: Zestawienie lokalizacji pionów pomiarowych oraz wyników pomiarów natężenia pola elektrycznego, pomiary szerokopasmowe

Nazwa	Data	Współrzędne geograficzne	E	WM _E	H	WM _H
		[°]	[$\frac{V}{m}$]		[$\frac{\Delta}{m}$]	
1	07.07.2023	16,8759842 51,0162697	1,49	0,053	0,004	0,054
2	07.07.2023	16,8762856 51,0164795	1,74	0,062	0,005	0,063
3	07.07.2023	16,8767357 51,0167961	2,86	0,102	0,008	0,104

Ciąg dalszy na następnej stronie

Tabela 3: Zestawienie lokalizacji pionów pomiarowych oraz wyników pomiarów natężenia pola elektrycznego, pomiary szerokopasmowe (c.d.)

Nazwa	Data	Współrzędne geograficzne	E	WM _E	H	WM _H
		[°]	[$\frac{V}{m}$]		[$\frac{A}{m}$]	
4	07.07.2023	16,8775005 51,0173988	3,36	0,120	0,009	0,122
5	07.07.2023	16,8779907 51,0177650	3,61	0,129	0,010	0,131
6	07.07.2023	16,8783646 51,0180511	3,24	0,116	0,009	0,118
7	07.07.2023	16,8760223 51,0162315	1,49	0,053	0,004	0,054
8	07.07.2023	16,8777447 51,0166512	5,48	0,196	0,015	0,199
9	07.07.2023	16,8784103 51,0168343	4,36	0,156	0,012	0,158
10	07.07.2023	16,8794556 51,0171089	3,61	0,129	0,010	0,131
11	07.07.2023	16,8760300 51,0162201	1,62	0,058	0,004	0,059
12	07.07.2023	16,8769608 51,0163155	3,36	0,120	0,009	0,122
13	07.07.2023	16,8780022 51,0164375	7,22	0,258	0,019	0,262
14	07.07.2023	16,8790340 51,0165558	5,98	0,214	0,016	0,217
15	07.07.2023	16,8792896 51,0168152	5,60	0,200	0,015	0,203
16	07.07.2023	16,8760338 51,0162010	1,49	0,053	0,004	0,054
17	07.07.2023	16,8776054 51,0161591	4,48	0,160	0,012	0,163
18	07.07.2023	16,8789673 51,0161324	3,86	0,138	0,010	0,140
19	07.07.2023	16,8760147 51,0161591	1,49	0,053	0,004	0,054
20	07.07.2023	16,8762741 51,0160561	2,12	0,076	0,006	0,077
21	07.07.2023	16,8773060 51,0156708	1,74	0,062	0,005	0,063
22	07.07.2023	16,8780880 51,0153847	2,61	0,093	0,007	0,095
23	07.07.2023	16,8786888 51,0151787	4,73	0,169	0,013	0,172
24	07.07.2023	16,8792229 51,0149918	3,49	0,125	0,009	0,127

Ciąg dalszy na następnej stronie

Tabela 3: Zestawienie lokalizacji pionów pomiarowych oraz wyników pomiarów natężenia pola elektrycznego, pomiary szerokopasmowe (c.d.)

Nazwa	Data	Współrzędne geograficzne	E	WM _E	H	WM _H
		[°]	[$\frac{V}{m}$]		[$\frac{A}{m}$]	
25	07.07.2023	16,8758411 51,0161171	1,74	0,062	0,005	0,063
26	07.07.2023	16,8756752 51,0157700	1,99	0,071	0,005	0,072
27	07.07.2023	16,8754921 51,0155067	2,99	0,107	0,008	0,109
28	07.07.2023	16,8753090 51,0152206	4,36	0,156	0,012	0,158
29	07.07.2023	16,8751278 51,0148811	5,23	0,187	0,014	0,190
30	07.07.2023	16,8745918 51,0142708	4,11	0,147	0,011	0,149
31	07.07.2023	16,8758049 51,0161324	1,62	0,058	0,004	0,059
32	07.07.2023	16,8743439 51,0149307	3,11	0,111	0,008	0,113
33	07.07.2023	16,8735752 51,0142708	2,86	0,102	0,008	0,104
34	07.07.2023	16,8757973 51,0162697	1,37	0,049	0,004	0,050
35	07.07.2023	16,8756447 51,0163841	2,12	0,076	0,006	0,077
36	07.07.2023	16,8751602 51,0167313	2,37	0,085	0,006	0,086
37	07.07.2023	16,8746452 51,0171089	2,74	0,098	0,007	0,100
38	07.07.2023	16,8737640 51,0177650	6,97	0,249	0,018	0,253
39	07.07.2023	16,8734169 51,0180511	5,98	0,214	0,016	0,217

Podsumowanie

Na podstawie wyników pomiarów pola elektromagnetycznego przedstawionych w niniejszym raporcie o nr 42/242/23/OS opracowanym przez Radiolog S.C. Tadeusz Piotrowski i Janusz Rzepka stwierdza się, że w otoczeniu stacji bazowej WRO1171 dopuszczalne poziomy pól elektromagnetycznych w środowisku, określone w przepisach wydanych na podstawie art. 122 ust. 1 ustawy z dnia 27 kwietnia 2001 r. – Prawo ochrony środowiska uznaje się za **dotrzymane**. Udokumentowano, że w żadnym pionie pomiarowym wartości wskaźnikowe WM_E oraz WM_H nie przekroczyły 1.

Osoby odpowiedzialne

Wykonanie pomiarów: b.d.

Opracowanie sprawozdania: b.d.

Autoryzacja sprawozdania: Janusz Rzepka (Kierownik Laboratorium)